ОПТИКА И СПЕКТРОСКОПИЯ. ЛАЗЕРНАЯ ФИЗИКА

Регистрация импульсного терагерцового излучения сверхпроводящим болометром в процессе параметрического рассеяния света

К.А. Кузнецов, ^{1,*} Т.И. Новикова, ¹ И.В. Пентин, ² Г.Х. Китаева ¹ Московский государственный университет имени М.В. Ломоносова, физический факультет, кафедра квантовой электроники Россия, 119991, Москва, Ленинские горы, д. 1, стр. 2 ² ООО «Сверхпроводящие нанотехнологии» Россия, 115114 г. Москва, Дербеневская наб., д. 11 (Поступила в редакцию 23.06.2025; после доработки 10.07.2025; подписана в печать 29.08.2025)

Исследованы статистические распределения выходных сигналов и их производных для сверхпроводящего болометра, подвергавшегося воздействию слабых импульсов излучения частоты 1 ТГц. Терагерцовые импульсы были получены при сильно невырожденном параметрическом рассеянии в кристалле LiNbO₃, охлажденном до 4.8 K, в условиях накачки кристалла лазерными импульсами с длительностью 28 пс. Обсуждаются различные сценарии отклика сверхпроводящего болометра на возбуждение малым числом терагерцовых фотонов.

PACS: 42.65.Lm, 74.25.-q, 07.57.Kp УДК: 535.1, 538.9

Ключевые слова: параметрическое рассеяние, терагерцовое излучение, сверхпроводящий болометр.

DOI: 10.55959/MSU0579-9392.80.2550402

ВВЕДЕНИЕ

В настоящее время большой интерес вызывает потенциал применения терагерцового (ТГц) излучения с частотами в диапазоне 0.1-30 ТГц. Все больше работ публикуется в различных областях: от спектроскопии и визуализации биомедицинских объектов [1], радиоастрономии [2], высокоскоростных коммуникаций [3] до проблем безопасности [4]. Исследования по развитию квантовых ТГц-технологий начались сравнительно недавно [5–7]. Во многом прогресс в применении ТГцизлучения сдерживается трудностями создания высокочувствительных, но экономически эффективных и простых в использовании ТГц-детекторов. Разработанные на сегодняшний день варианты однофотонных ТГц-приемников требуют глубокого охлаждения, что ограничивает их массовое применение [8–10]. Сверхпроводящие болометры на горячих электронах (СБГЭ), известные как НЕВдетекторы, с достаточно низкими значениями NEP (noise equivalent power), достигающими уровня $\sim 10^{-13}~{
m Br}/\Gamma {
m u}^{1/2}$ и ниже), и работающих при температурах в несколько градусов Кельвина [11], перспективны для регистрации интенсивностей ТГц излучения и соответствующих средних чисел фотонов в сверхслабых потоках. Чувствительные и коммерческие доступные СБГЭ сегодня используются для регистрации непрерывного или импульсного ТГц-излучения. Но даже в экспериментах, где рассматриваются короткие ТГц-импульсы, интенсивность излучения обычно слишком высока для достижения условий, когда только небольшое число ТГи-фотонов попадает в детектор за время регистрации [12]. Однако в работе [13] такие условия были созданы и было показано, что моделирование статистических распределений выходных сигналов сверхпроводящего ТГц-болометра в случае крайне слабых импульсов излучения наносекундной длительности можно проводить, предполагая наличие некоторых дискретных событий, формирующих каждый сигнал. В настоящей работе исследуется возможность регистрации коротких маломощных пикосекундных ТГц-импульсов при освещении СБГЭ, а также два способа обработки получаемых данных: определение статистики распределения максимальных амплитуд импульсов или статистики распределения наклонов передних фронтов импульсов. В пикосекундном режиме длительность ТГц-импульсов 28-30 пс меньше заявленного производителем времени отклика сверхпроводящей пленки NbN (50 пс). Это позволяет выявить принципиальные различия в статистических параметрах отклика детектора по сравнению с наносекундным режимом.

Известно, что анализируя наклоны восходящих фронтов импульсов можно при определенных условиях извлечь информацию о числе фотонов обнаруженного состояния вследствие зависимости сопротивления сверхпроводника от числа поглощенных фотонов. В частности, поведение сопротивления, индуцированного в нано-проволоке из-за поглощения оптического излучения, демонстрировало зависимость от числа фотонов [14, 15]. Несмотря на то, что данный подход хорошо зарекомендовал себя для счетных сверхпроводящих детекторов в видимом и ИК диапазоне, он может быть информативен и для ТГц сверхпроводящих болометров на горячих электронах.

^{*} E-mail:kirill-spdc@yandex.ru

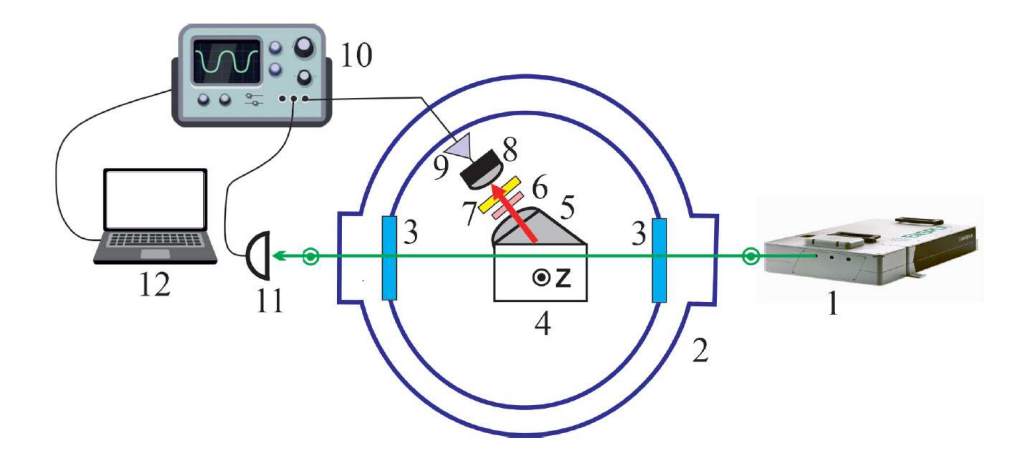


Рис. 1. Экспериментальная установка для генерации ТГц-фотонов в процессе параметрического рассеяния света и измерения статистических распределений выходных сигналов сверхпроводящего ТГц-болометра

1. МЕТОДИКА ЭКСПЕРИМЕНТА

Для создания источника сверхслабых ТГцимпульсов нами была разработана экспериментальная установка (рис. 1), в которой ТГц-фотоны генерировались при сильно невырожденном по частоте параметрическом рассеянии [16] импульсного лазерного излучения. В качестве источника накачки использовалась вторая гармоника пикосекундного Nd:YAG лазера с диодной накачкой и килогерцовой частотой повторения импульсов PL2211A-1k-SH/TH Expla (1) с длиной волны 532 нм и длительностью импульсов 28 пс.

 $LiNbO_3$ Кристалл (4)и сверхпроводящий ТГц-болометр (7) с NEP на $\sim 2.5 \times 10^{-13}~{\rm Br}/\Gamma {\rm q}^{1/2}$ производства Scontel были размещены в вакуумной камере криостата (2) с рабочей температурой 4.8 К. В качестве входного и выходного окон криостата использовались фильтры ITO (3), пропускающие оптическое излучение накачки и сигнальное излучение параметрического рассеяния оптического диапазона, но подавляющие внешнее паразитное тепловое излучение на ТГц-частотах от лабораторных объектов комнатной температуры. Спектр фильтров ІТО приведен на рис. 2, a [17].

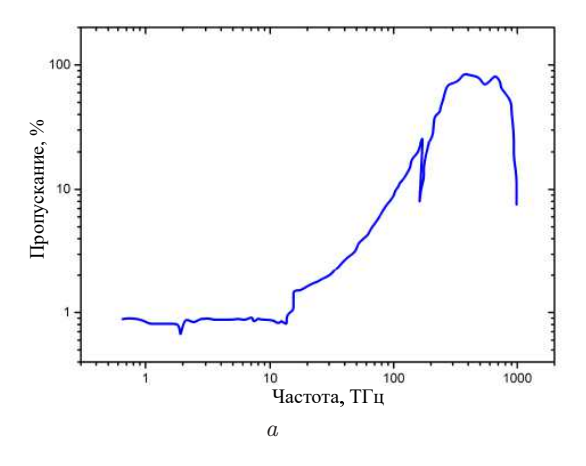
Видно, что на частотах ниже 10 ТГц внешнее тепловое излучение почти полностью подавляется, в то время как полоса чувствительности болометра ограничена сверху частотой 7 ТГц. На входе болометра находился ИК-фильтр из политетрафторэтилена Zitex G-106 (6) для подавления оптического излучения рассеянной накачки. ТГц-фотоны генерировались в кристалле в поляризационной геометрии еее под углом около 60° к направлению накачки. Оптическая ось кристалла была ориентирована нормально к плоскости фазового синхронизма. В наших экспериментах пришлось отказаться от использования легированных магнием кристаллов LiNbO₃, поскольку в криогенно охлажденном кристалле Mg:LiNbO₃ при освещении мощными пи-

косекундными лазерными импульсами образовывались темные треки («dark traces») по ходу луча накачки, которые создавали области высокого поглощения излучения накачки. Следует отметить, что в выбранном образце кристалла LiNbO₃ конгруэнтного состава без примеси магния при пикосекундной накачке не было обнаружено никаких дефектов ни в виде темных треков, ни в виде наведенной неоднородности показателя преломления, и этот аспект оптической стойкости нелегированного ниобата лития требует отдельного изучения в будущем. Фотоны на ТГц-частотах выводились из кристалла через кремниевый призменно—линзовый адаптер (5), установленный на его боковой поверхности [18].

Для дальнейшего сужения спектра детектируемых ТГц-фотонов перед СБГЭ дополнительно располагался полосовой фильтр Tydex (7) с максимумом пропускания на частоте 1 ТГц и FWHM (Full Width at Half Maximum) ~ 0.15 ТГц (рис. 2, δ) [19].

Мощность ТГц-излучения могла варьироваться за счет изменения мощности лазерной накачки. Электрический сигнал со сверхпроводящего ТГцдетектора подавался на вход криогенного НЕМТусилителя (9) с полосой частот до 250 МГц и коэффициентом усиления по мощности $\geq \sim 35$ дБ. Малошумящий усилитель был выполнен на основе НЕМТ-транзисторов, которые имели спектральную плотность шума значительно ниже собственного шума ТГц-детектора в его рабочей точке. После НЕМТ-усилителя импульс сигнала регистрировался с помощью осциллографа Tektronix DPO 5104B (10), синхронизированного с импульсом лазерной накачки триггерным PIN-фотодиодом (11) в канале лазерной накачки. Чувствительная область СБГЭ длиной 0.2 мкм и шириной 2 мкм была выполнена из сверхпроводящей пленки NbN толщиной 5-10 нм, нанесенной на диэлектрическую кремниевую подложку.

Для повышения эффективности согласования с падающим излучением чувствительная область ТГц-детектора была интегрирована в ши-



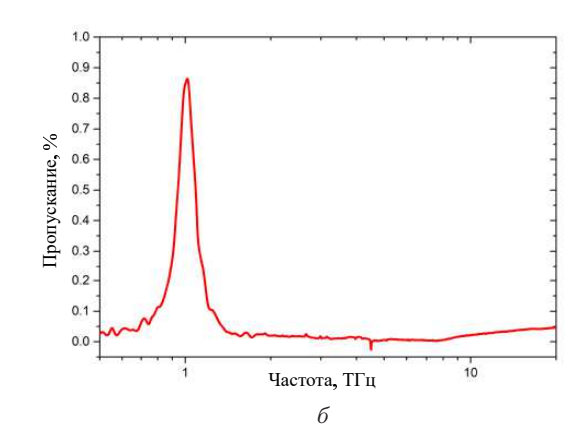


Рис. 2. Спектры пропускания фильтров ITO (a) и фильтра Tidex $(1\ T\Gamma \mu)$ (δ)

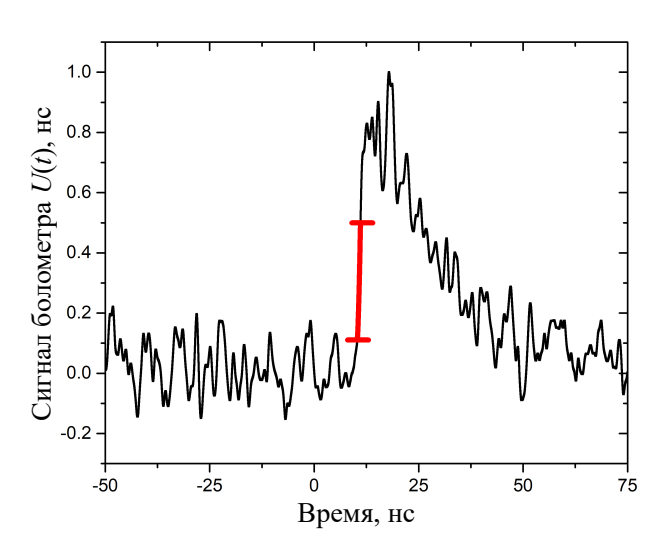


Рис. 3. Пример временной зависимости импульсов сигнала с ${\rm T}\Gamma_{\rm II}$ -болометра

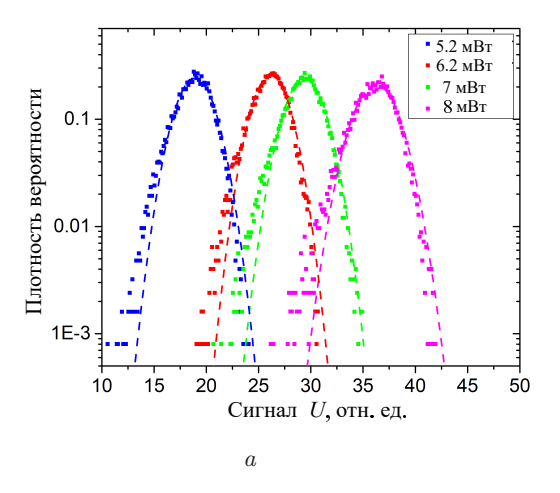
рокополосную планарную спиральную антенну, переходящую в омические контакты детектора. Положение рабочей точки СБГЭ на вольт-амперной характеристике (ВАХ) фиксировалось с помощью стабилизированного источника напряжения в цепи смещения болометра. Величина тока смещения через болометр задавалась исходя из его максимальной чувствительности, соответствующей почти горизонтальному участку ВАХ. При этом чувствительность к ТГц-излучению для использованного в работе сверхпроводящего детектора достигается при температурах несколько больших (7-8 К), чем рабочая температура криостата. Это отличает наш болометр от сверхпроводниковых детекторов, имеющих область максимальной чувствительности в очень узком суб-кельвиновском диапазоне температур, как, например, это имеет место в TES-детекторах. Кроме того, относительное изменение тока смещения детектора, которое можно было наблюдать при поглощении ТГц-импульса без включения НЕМТ-усилителя, не превышало ~ 3 мкА при рабочем токе смещения вблизи 60 мкА, что заведомо исключало выход детектора из своего динамического диапазона. Временные формы импульсов, полученных на осциллографе, оцифровывались и записывались в память персонального компьютера (12).

2. АНАЛИЗ ЭКСПЕРИМЕНТАЛЬНЫХ РЕЗУЛЬТАТОВ

Типичная форма осциллограммы сигнала ТГцболометра, зарегистрированная после одного импульса пикосекундного лазера, показана на рис. 3. Красным отрезком обозначена область импульса, где вычислялась производная функция фронта сигнала.

Определяемое полосой пропускания НЕМТ-усилителя время нарастания сигнала ТГц-болометра составляет около 4 нс, в то время как постоянная спада в 10 раз больше и составляет около 20 нс. Общая длительность импульса, очевидно, больше импульса ТГц-излучения, длительность которого немногим выше длительности импульсов накачки и составляет величину около 30 пс. В эксперименте линейный режим детектирования достигался путем непрерывного контроля тока в цепи смещения болометра, который не превышал установленных значений более чем на 5%. Это позволило избежать появления паразитных высокочастотных гармоник в спектре преобразованного сигнала болометра изза искажения временного профиля сигнала. Кроме того, находясь в линейном режиме работы, ТГцболометр имел минимальное время отклика, ограниченное только верхним пределом полосы усиления НЕМТ-усилителя.

Для каждого импульса с выхода усилителя определялось максимальное отклонение от уровня фона путем усреднения выходных данных осциллографа по интервалу 5 нс в области пика. На основе набора значений из большого числа сигналов (от 10^4 до 3×10^4) в каждом случае строилась экспериментальная гистограмма амплитуд выходных сигналов болометра. Распределение плотности вероятности



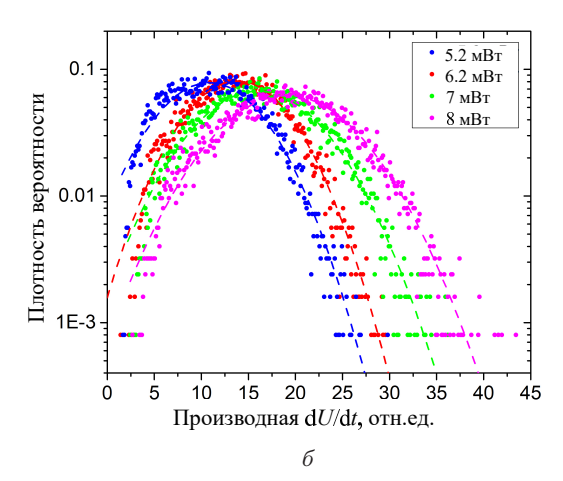


Рис. 4. Статистические распределения выходных сигналов (a) и их производных функций (δ) от сверхпроводящего ТГц-болометра, освещенного холостым излучением на частоте 1 ТГц при различной средней мощности накачки. Сплошные кривые — результаты аппроксимации с использованием выражения (1)

сигнала определялось путем нормализации гистограммы в соответствии с условием $\int_{-\infty}^{\infty} P(z) \, dz = 1$. Примеры полученных распределений представлены на рис. 4, a.

Аналогичным способом строилось распределение производных функций сигнала в области переднего фронта импульса рис. 4, б. Для этого выбиралась область монотонного роста, в которой сигнал превышал средний шум на 10% от максимального значения U_{max} , но был меньше величины $0.5~U_{max}$. Распределение также нормировалось из условия равенства единице полного интеграла от функции распределения по всем передним наклонам импульсов. Как и ожидалось, координаты максимумов гистограмм сигналов и их производных смещаются в сторону более высоких выходных значений при увеличении средней мощности накачки (рис. 4). В рассмотренном случае достаточно быстрого возбуждения, когда длительность импульса накачки составляет 28 пс, форма распределения отклика практически не меняется с увеличением мощности. Подобно некоторым предыдущим работам, форма гистограмм, полученных в пикосекундном режиме, хорошо описывается распределением Гаусса-Лапласа:

$$P_{\rm ps}(z) = \frac{1}{\sqrt{2\pi D_0}} \exp\left(-\frac{(z-z_0)^2}{2D_0}\right),$$
 (1)

где z_0 — среднее значение, D_0 — дисперсия показаний. Принципиальной разницы в формах распределений сигналов и их производных обнаружено не было, однако количественная разница оказалась довольно существенной. На рис. 5 изображены графики отношения положения максимума распределения z_0 к его среднеквадратичному отклонению $\sigma = \sqrt{D_0}$. Видно, что с ростом мощности эти зависимости имеют тенденцию к выходу на насыщение, что говорит об установлении постоянных отношений максимумов распределений сигналов и их производных к ширинам распределений в пределе больших потоков падающего излучения. При сравнительно малых мощностях $T\Gamma$ ц излучения (и соот-

ветствующих мощностях накачки меньших 5 мВт) наблюдается рост отношений z_0/σ , что, вероятно, обусловлено уменьшением вклада от электронного шума с ростом сигнала. При этом относительная ширина гистограмм производных функций гораздо больше относительной ширины гистограмм сигналов, что свидетельствует о потенциально большей чувствительности метода определения наклонов с целью выявления вкладов от «элементарных событий», связанных с поглощением единичных $T\Gamma$ ц-фотонов.

Зависимость положения максимумов от мощности накачки при освещении пикосекундными импульсами точно соответствует теоретическим предсказаниям для параметрического рассеяния света (рис. 6). В линейном режиме z₀ должно быть пропорционально числу падающих ТГц-фотонов. Число генерируемых при параметрическом рассеянии ТГц-фотонов изменяется как

$$z_0 = C_1 \sinh^2 \left(C_2 \sqrt{P_{\text{pump}}} \right), \tag{2}$$

где P_{pump} — мощность накачки, измеренная в мВт, $C_{1,2}$ — подгоночные коэффициенты. Рис. 5 демонстрирует экспериментальные зависимости средних сигналов и их производных от мощности импульсов. Основные коэффициенты — это C_2 , связанные с коэффициентами параметрического усиления. Их значения составили: для зависимости амплитуды сигнала от мощности: $C_2=0.46\pm0.05$, а для производных — $C_2=0.4\pm0.02$, т.е. хорошо совпали с точностью до стандартной ошибки выборочного среднего.

Учитывая, что длительность ТГц-импульса в пикосекундном режиме меньше собственного времени отклика используемого ТГц-болометра (которое, по данным производителя, составляло около 50 пс), следует предположить, что вся поглощенная ТГц-болометром энергия излучения тратится на однократное увеличение сопротивления чувствительного элемента. Это приводит к образованию

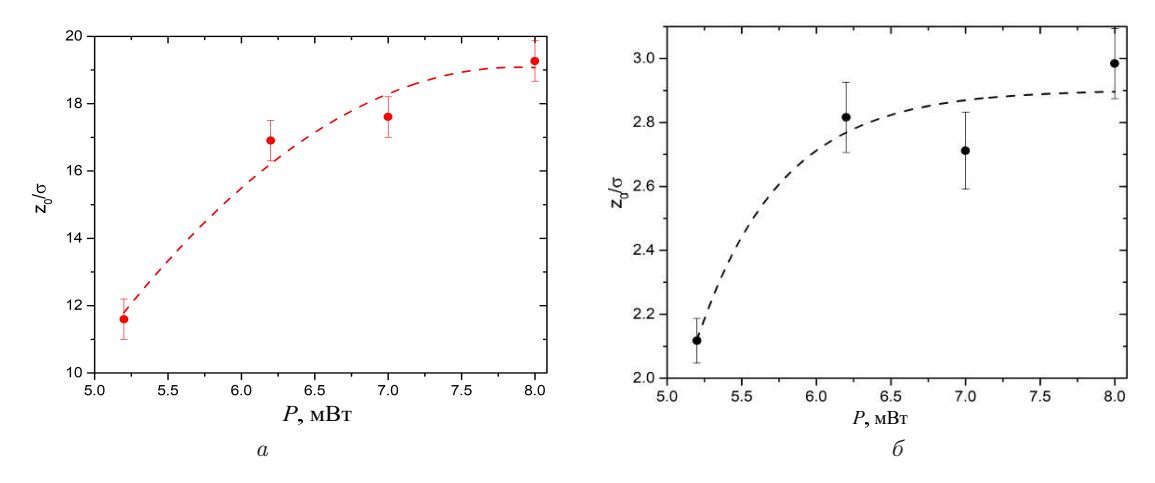


Рис. 5. Зависимости отношения средних значений и среднеквадратичных отклонений для распределений максимумов сигналов (a) и их производных (b) в зависимости от мощности накачки

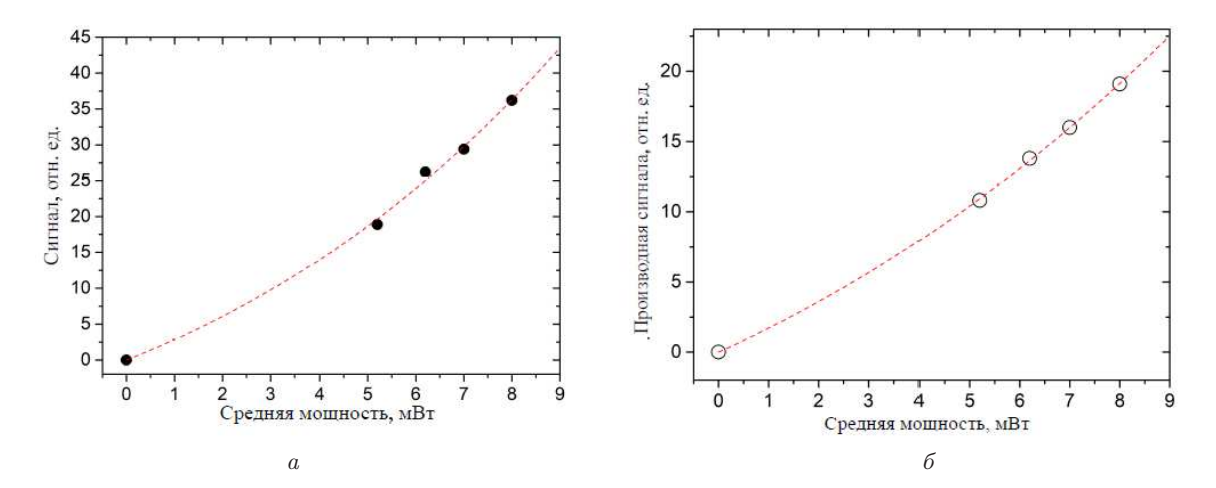


Рис. 6. Зависимости максимумов гистограмм сигналов (a) и их производных (b) от средней мощности лазера при пикосекундной подсветке. Точки — экспериментальные значения, кривые — аппроксимация с использованием зависимости (2) числа фотонов параметрического рассеяния света от мощности накачки

на электрическом выходе болометра одного «элементарного» фотоимпульса тока. В ряде работ проводилась деконволюция статистических распределений показаний сверхпроводящих детекторов [20] и фотоэлектронных умножителей [21, 22] с целью определения статистических свойств одного элементарного фотоимпульса из свертки пуассоновского распределения числа фотоимпульсов со всеми гауссовыми распределениями элементарных вкладов. Однако в этих работах исследовался отклик детекторов, где возникновение элементарного фотоимпульса было связано с поглощением одного фотона. В нашем случае, по оценкам, энергия одного ТГц-фотона слишком мала, чтобы вызвать заметное изменение сопротивления чувствительного элемента СБГЭ. Мы ничего не можем сказать о количестве ТГц-фотонов, которые должны быть поглощены для получения одного элементарного фотоимпульса. Но, скорее всего, характерная длительность этих импульсов не меньше собственного времени отклика чувствительного элемента ТГцболометра, то есть нескольких десятков пикосекунд. При этом возникновение одного элементарного фотоимпульса обусловлено локальным ростом сопротивления чувствительной области сверхпроводящего ТГц-болометра («горячее пятно»), связанным с этим ростом общего сопротивления и падением тока. Последующая релаксация горячих электронов определяет длительность заднего фронта импульса.

ЗАКЛЮЧЕНИЕ

Исследованы статистические распределения выходных сигналов терагерцового сверхпроводящего болометра на горячих электронах при освещении слабыми 30-ти пикосекундными ТГц-импульсами. Проведено численное моделирование гистограмм показаний в предположении о гауссовском характере распределений. Гистограммы, зарегистрированные в импульсном пикосекундном режиме освещения, демонстрируют полную симметрию, но уширяются с ростом интенсивности падающего излу-

чения. Особенно сильно это заметно для распределений скорости нарастаний сигналов во времени, что может быть более информативно при анализе элементарных событий детектирования ТГц фотонов. Однако для этого требуются болометры с большей чувствительностью и меньшим уровнем эквивалентной мощности шума NEP.

Авторы выражают благодарность Е.А. Ширшину за неоценимую поддержку в измерениях стати-

стических распределений импульсов. Т.И. Новикова выражает благодарность Фонду развития теоретической физики и математики «БАЗИС». В работе использовалось оборудование, приобретенное за счет средств Программы развития Московского университета.

Работа выполнена при финансовой поддержке РНФ (грант № 22-12-00055-П).

- [1] Zaytsev K.I., Dolganova I.N., Chernomyrdin N.V. et al. // J. Opt. **22**, 013001 (2020).
- [2] Kawamura J., Hunter T.R., Tong C.-Y.E. et al. // Astronomy & Astrophysics 394, 271 (2002).
- [3] Song H.-J., Lee N. // IEEE Trans. Terahertz Sci. Technol. $\bf 12$, 105 (2022).
- [4] Hillger P., Grzyb J., Jain R. et al. // IEEE Trans. Terahertz Sci. Technol. 9, 1 (2019).
- [5] Kitaeva G.Kh., Kornienko V.V., Leontyev A.A. et al. // Phys. Rev. A 98, 063844 (2018).
- [6] Леонтьев А.А., Кузнецов К.А., Прудковский П.А. и др. // Письма в ЖЭТФ. 2021. Т. 114. № 11. С. 565. (Leontyev A.A., Kuznetsov K.A., Prudkovskii P.A. et al. // JETP Lett. 114, 565 (2021))
- [7] Kutas M., Haase B., Bickert P. et al. // Sci. Adv. 6, eaaz8065 (2020).
- [8] McKitterick C.B., Vora H., Du X. et al. // J. Low Temp. Phys. 176, 291-297 (2014).
- [9] Williams J.O.D., Alexander-Webber J.A., Lapington J.S. et al. // Sensors 16, 1351 (2016).
- [10] Miao W., Li F., Luo Q. et al. // Carbon **202**, 111112 (2023).
- [11] Shurakov A., Lobanov Y., Goltsman G. // Supercond.

- Sci. Technol. 29, 023001 (2016).
- [12] Palka N., Zagrajek P., Czerwinski A. et al. // Photonics Lett. Pol. 4(3), 106-108 (2012).
- [13] Prudkovskii P., Leontyev A., Kuznetsov K. et al. // Sensors 21, 4964 (2021).
- [14] Cahall C., Nicolich K.L., Islam N.T. et al. // Optica 4(12), 1534-1539 (2017).
- [15] Sempere-Llagostera S., Thekkadath G.S., Patel R.B. et al. // Opt. Express 30(2), 3138-3151 (2022).
- [16] Kitaeva G.Kh., Kornienko V.V., Kuznetsov K.A. et al. // Opt. Lett. 44(5), 1198-1201 (2019).
- [17] Wang T., Zalkovskij M., Iwaszczuk K. et al. // Opt. Mater. Express 5, 566-578 (2015).
- [18] Kitaeva G.Kh., Safronenkov D.A., Starkova N.V. // Photonics 10(10), 1145 (2023).
- [19] https://www.tydexoptics.com/products/thz_ assemblies/thz_band_pass_filter/
- [20] Karasik B.S., Pereverzev S.V., Soibel A. et al. // Appl. Phys. Lett. 101, 052601 (2012).
- [21] Kalousis L.N. // JINST 18, P07016 (2023).
- [22] Chirikov-Zorin I., Fedorko I., Menzione A. et al. // Nucl. Instrum. Methods Phys. Res. A 456, 310-321 (2001).

Detection of Pulsed Terahertz Radiation by a Superconducting Bolometer in the Process of Parametric Down-Conversion

K. A. Kuznetsov $^{1,a},$ T. I. Novikova 1, I. V. Pentin 2, G. Kh. Kitaeva 1

¹Department of Quantum electronics, Faculty of Physics, Lomonosov Moscow State University Moscow 119991, Russia

²Superconducting Nanotechnologies LLC. Moscow, 115114, Russia E-mail: ^a kirill-spdc@yandex.ru

The statistical distributions of the output signals of a superconducting bolometer exposed to weak photon pulses with a frequency of 1 THz and pulse duration near 30 ps are investigated. Terahertz pulses are obtained by the method of strongly nondegenerate parametric scattering in a LiNbO₃ crystal cooled to 4.8 K. Various scenarios of the response of superconducting bolometer to excitation by a small number of terahertz photons are discussed.

PACS: 42.65.Lm, 74.25.-q, 07.57.Kp.

Keywords: parametric down-conversion, terahertz radiation, superconducting bolometer. Received 23 June 2025.

English version: Moscow University Physics Bulletin. 2025. 80, No. . Pp. .

Сведения об авторах

- 1. Кузнецов Кирилл Андреевич канд. физ.-мат. наук, ст науч сотрудник; тел.: (495) 939-43-72, e-mail: kirill-spdc@yandex.ru.
- 2. Новикова Татьяна Игоревна аспирант; тел.: (495) 939-43-72, e-mail: novikova.ti15@physics.msu.ru.
- 3. Пентин Иван Викторович научный сотрудник; тел.: (499)246-88-99, e-mail: PentinIvan@mail.ru.
- 4. Китаева Галия Хасановна доктор физ.-мат. наук, профессор; тел.: (495) 939-43-72, e-mail: gkitaeva@physics.msu.ru .